

MUX104

Synthèse d'image et réalité virtuelle

# Trajectoires simulées

Pierre Cubaud  
cubaud @ cnam.fr

mars 2020

le **cnam**

## **Plan du cours**

- **Dynamique du point**
- **Particules**
- **Nuées**
- **Passage au solide (indéformable)**

# **1. Dynamique du point**

# Formule fondamentale de la dynamique :

$$\sum \vec{F} = m\vec{a} \text{ avec } \vec{a} = \begin{pmatrix} d^2x/dt^2 \\ d^2y/dt^2 \\ d^2z/dt^2 \end{pmatrix} = \begin{pmatrix} \ddot{x} \\ \ddot{y} \\ \ddot{z} \end{pmatrix}$$

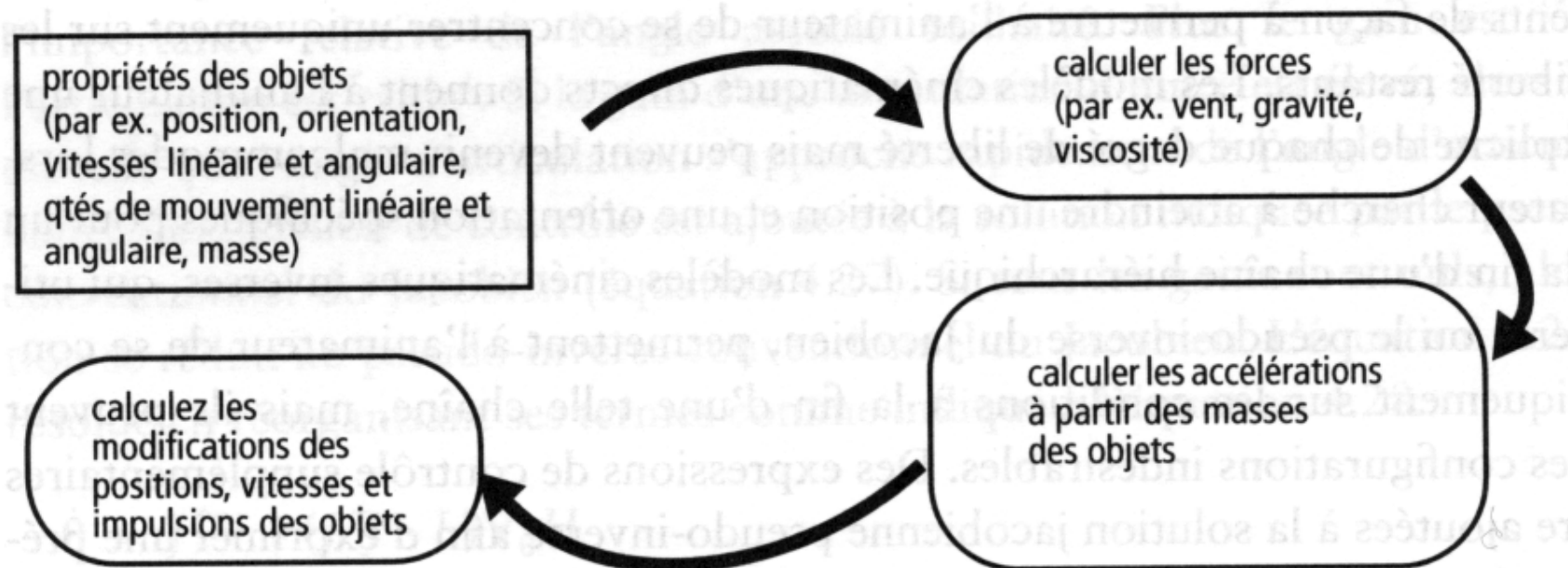
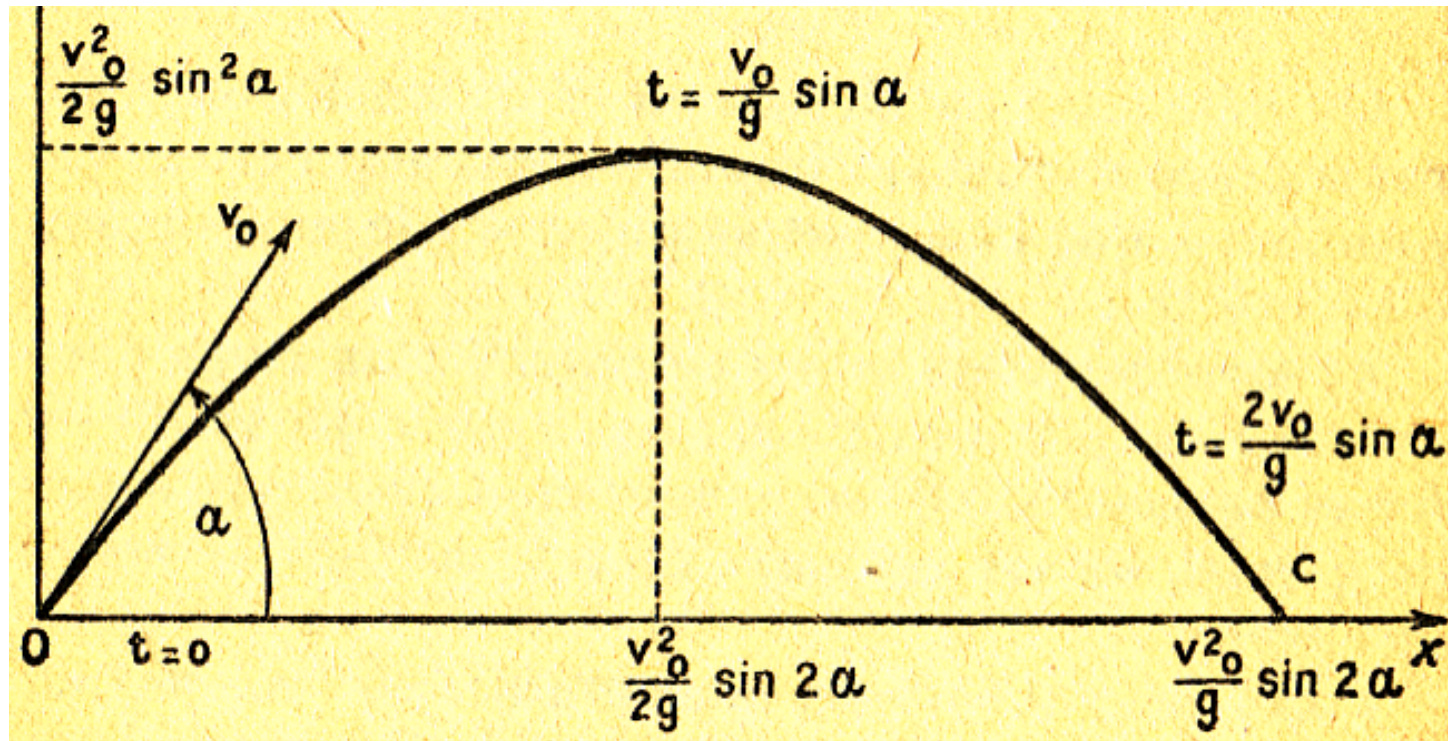


Figure 4.23 **Cycle de mise à jour de la simulation des corps rigides**

[PAR]

## Exemple d'un projectile dans le vide



$$\sum \vec{F} = \begin{pmatrix} 0 \\ -mg \\ 0 \end{pmatrix} = m\vec{a} = \begin{pmatrix} m\ddot{x} \\ m\ddot{y} \\ m\ddot{z} \end{pmatrix} \Rightarrow \begin{cases} \dot{x} = v_0 \cos \alpha \\ \dot{y} = v_0 \sin \alpha - gt \\ \dot{z} = 0 \end{cases} \Rightarrow \begin{cases} x = v_0 t \cos \alpha \\ y = v_0 t \sin \alpha - \frac{1}{2}gt^2 \\ z = 0 \end{cases}$$

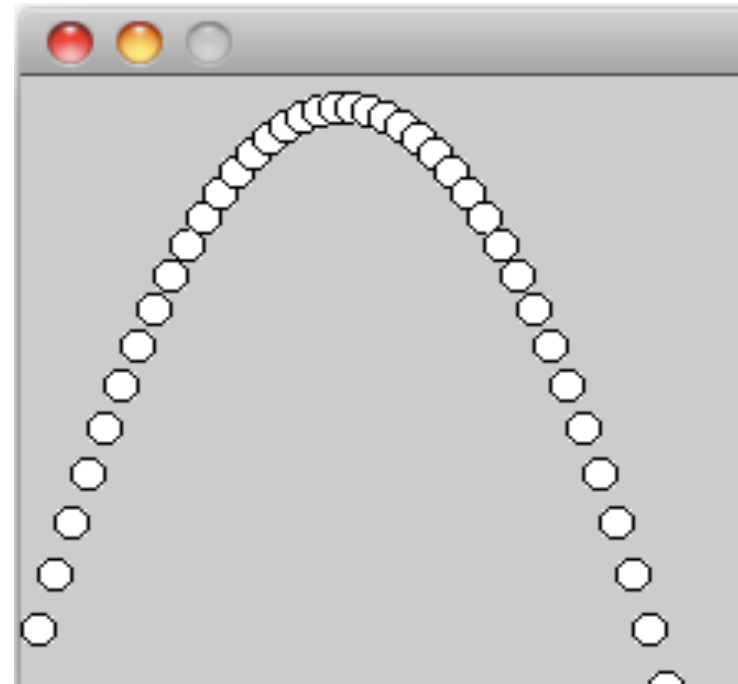
avec  $g = 9.81 \text{ m/s}^2$

boulet

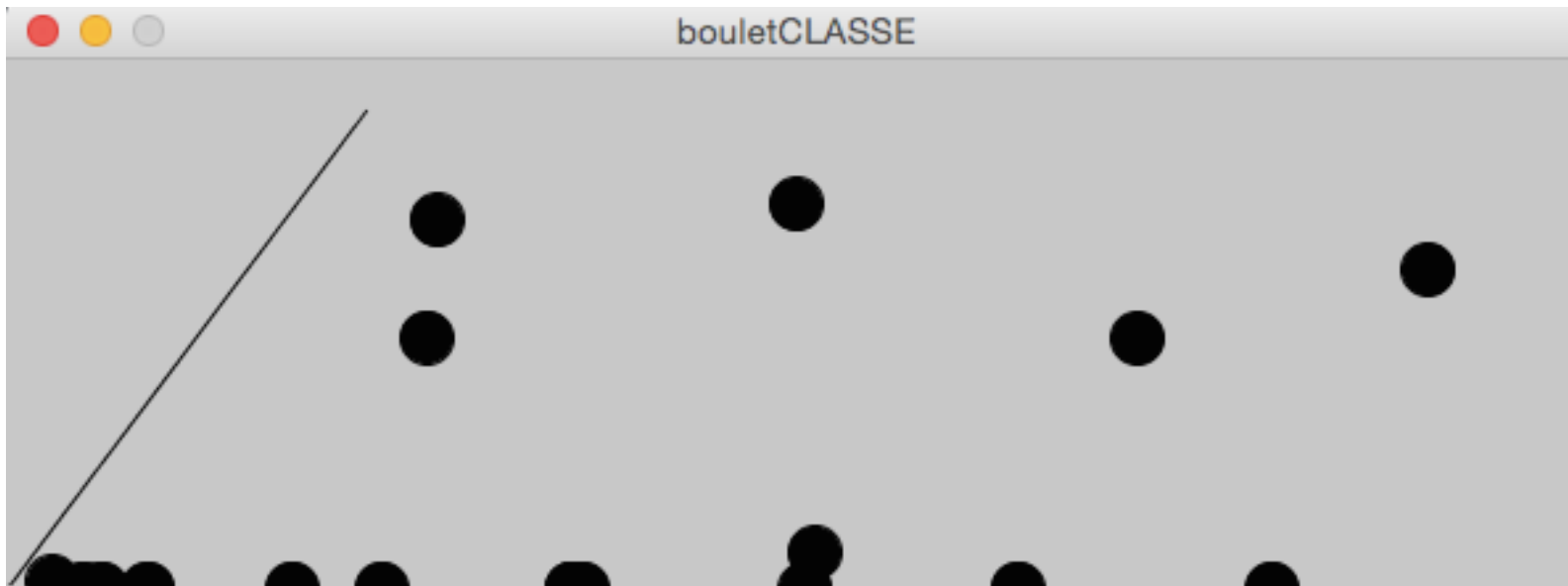
```
float x,y,vx,vy,ax,ay;

void setup(){
  size(600,200);
  x = 0;
  y = 0;
  vx = 5;
  vy = 20;
}

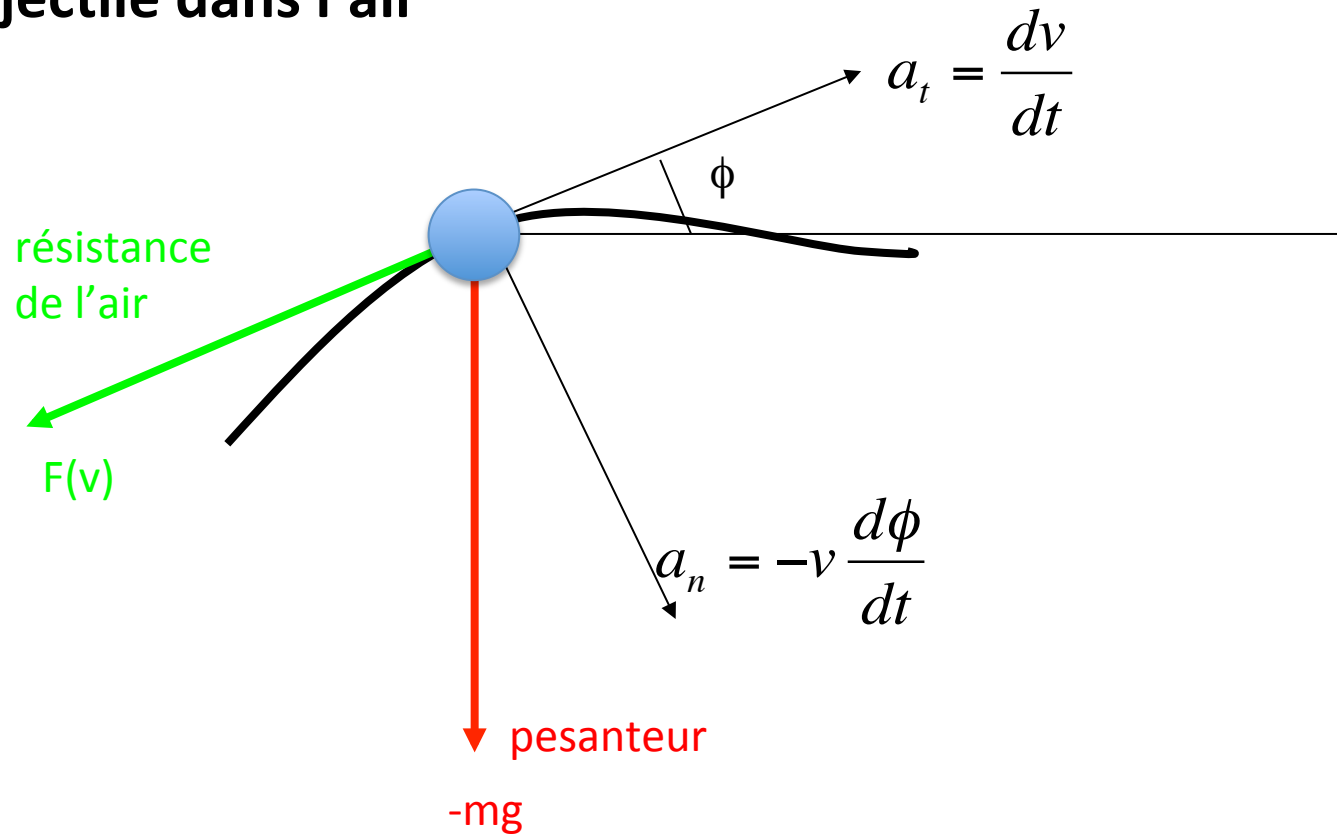
void draw() {
  ax = 0;
  ay = -1           = 1 m/s2
  vx = vx + ax;
  vy = vy + ay;
  x = x + vx;
  y = y + vy;
  ellipse(x,height-y,10,10);
}
```



## Choix du vecteur $V_0$ et ajout des rebonds :



## Le projectile dans l'air



Equation différentielle : 
$$\frac{dv}{d\phi} = v \left( \tan \phi + \frac{F(v)}{mg \cos \phi} \right)$$

Résolution par intégration numérique : de Euler à Runge-Kutta



## **2. Particules**

"Genesis Effect from  
Star Trek II: The  
Wrath of Khan »  
(By William Reeves)



Video clip from  
"Particle Dreams"  
by Karl Sims.



W. T. Reeves, "Particle Systems - A Technique for Modeling a Class of Fuzzy Objects", *Computer Graphics*, vol. 17, no. 3, pp 359-376, 1983

Hypothèses :

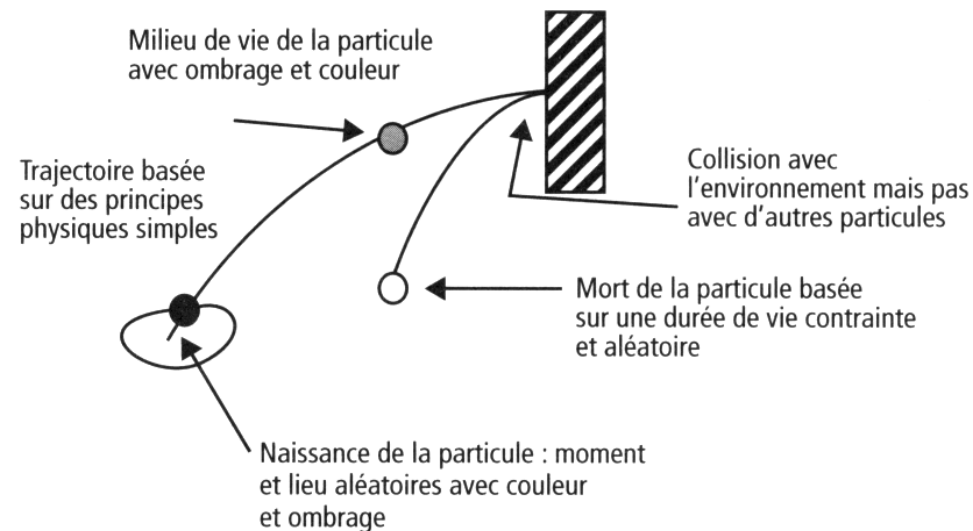
- les particules n'entrent pas en collision entre elles
- ne projettent de l'ombre que sur le reste du monde
- ne réfléchissent pas la lumière, sont des sources de lumières ponctuelles
- durée de vie finie (aléatoire). On génère des 100k part. dans une animation. Quelques K actifs simultanément

Applications : explosions, feux, ...

Cycle de vie :

pour chaque plage temporelle faire :

1. générer N nouvelles particules
2. donner des attributs aux nouvelles particules
3. détruire les particules dont la durée de vie est passée
4. animer les particules restantes : gestion collision+ombre
5. (les collisions peuvent être destructives, le hors-champs aussi)
6. dessiner les particules restantes



[PAR]

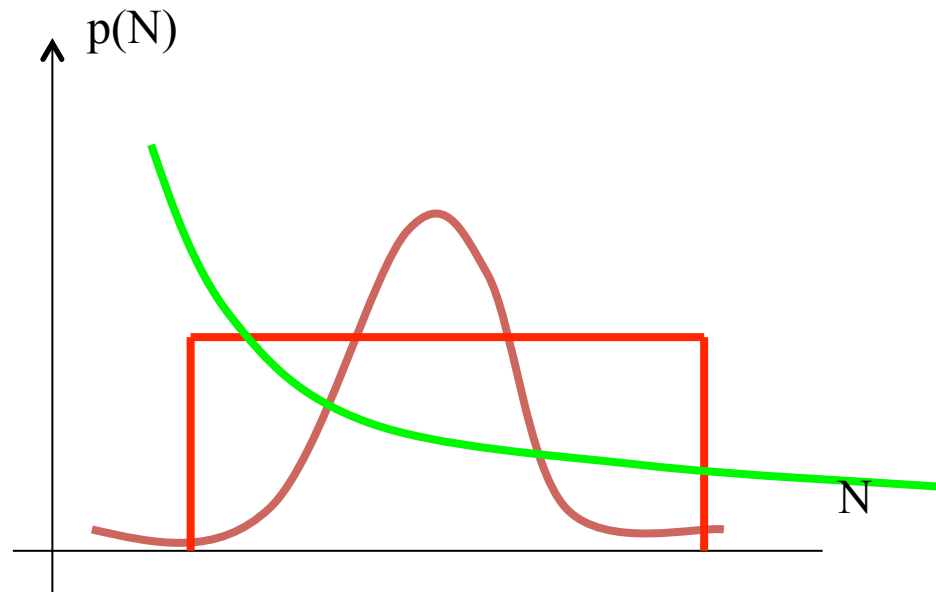
Figure 4.48 Cycle de vie d'une particule

# Génération des particules

$N = \text{moyenne} + \text{aléa}() * \text{plage}$

Exemple de loi aléatoire à utiliser pour  $\text{aléa}()$  :

- uniforme dans  $[-1,+1]$
- normale(0,1)
- loi de Poisson
- etc...



ATTENTION : plage  $\neq$  variance (cf Foley-van Dam p.1032, etc.)  
plutôt écart type (si loi Normale, mais pas pour les autres)

## Attributs de la particule : déterministes ou aléatoires

-position

-vitesse

-paramètres de forme

-couleur

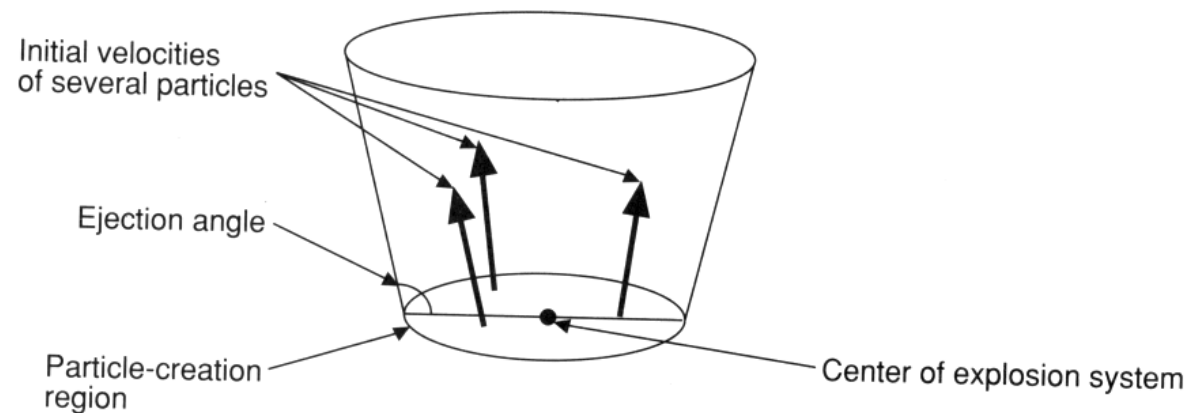
-transparence

-durée de vie (en nombre d'images)

en + pour l'animation :

- vecteur somme des forces

- masse

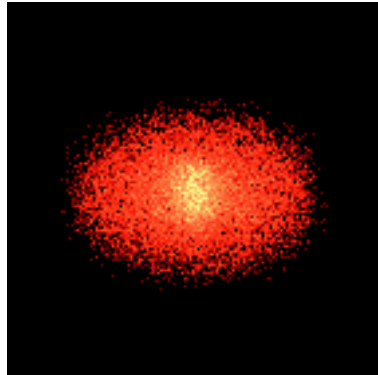


[PAR]

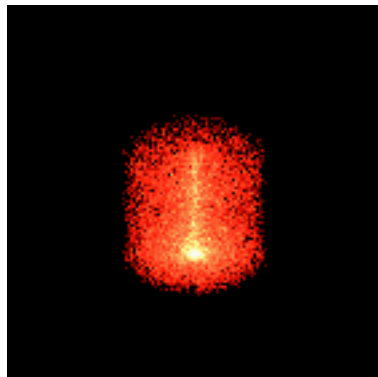
**Fig. 20.17** The initial stage of a particle system for modeling an explosion.

Exemple simple : page web de Allen Martin

<http://www.cs.wpi.edu/~matt/courses/cs563/talks/psys.html>

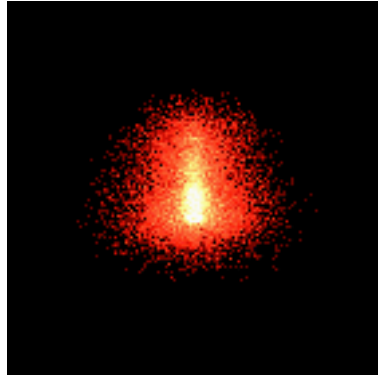


Particles are laid out in a circular disc structure and given an initial upwards velocity. When the particle's lifetime is expired it is removed. If the particle collides with the ground it remains stationary

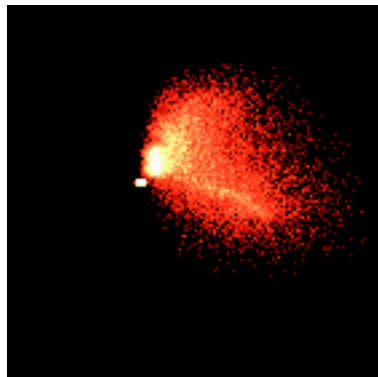


Similar to Example 1, but particles are initially clustered near a single point.

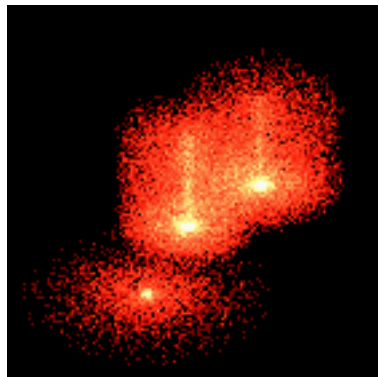
remarque : on peut faire du « motion blur » en dessinant des traits au lieu de points



In this example the particles are initially clustered in a point similar to Example 2 but particles are constantly being regenerated at the start point. The effect looks very much like a fire or torch burning.

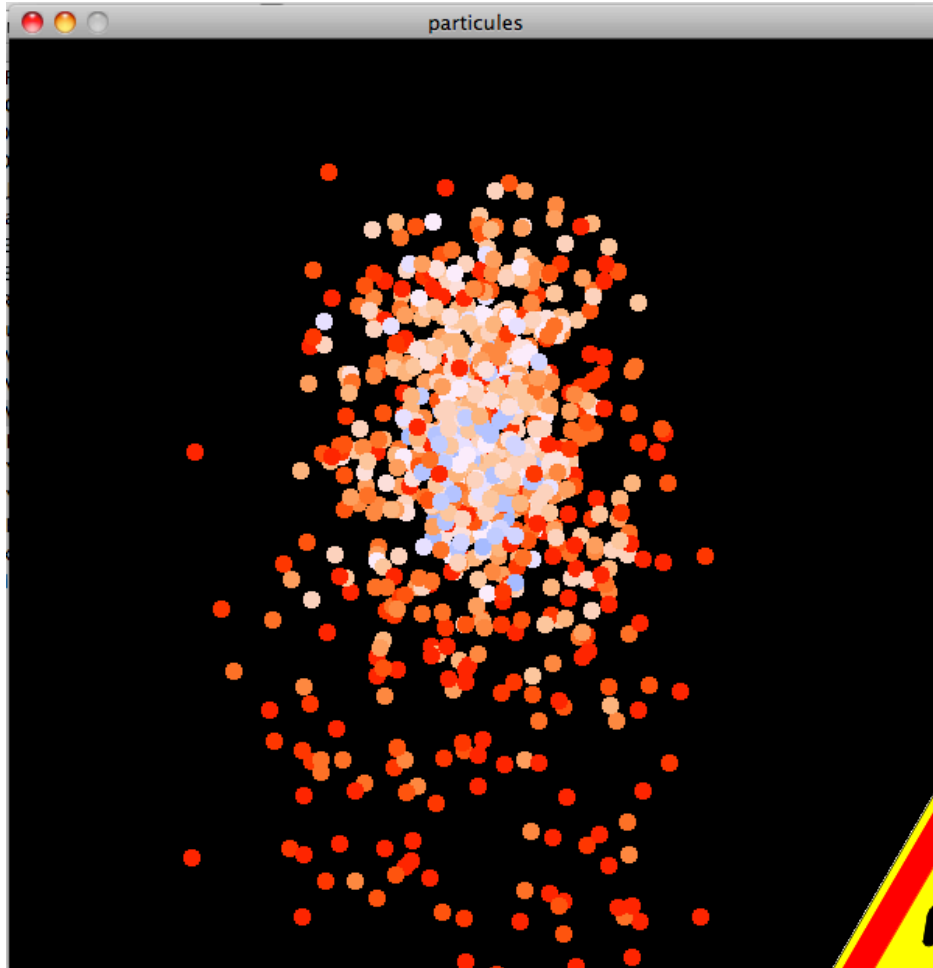


In this example the point where the particles are being regenerated is translated in a circular motion through time. The effect looks like a wick burning.



In this example there are multiple generation points. The generation points are randomly created within a square boundary on the ground at random times during the sequence. The particles are created in a cluster at each generation point and are not regenerated. The result looks like a series of volcanos erupting or bombs exploding

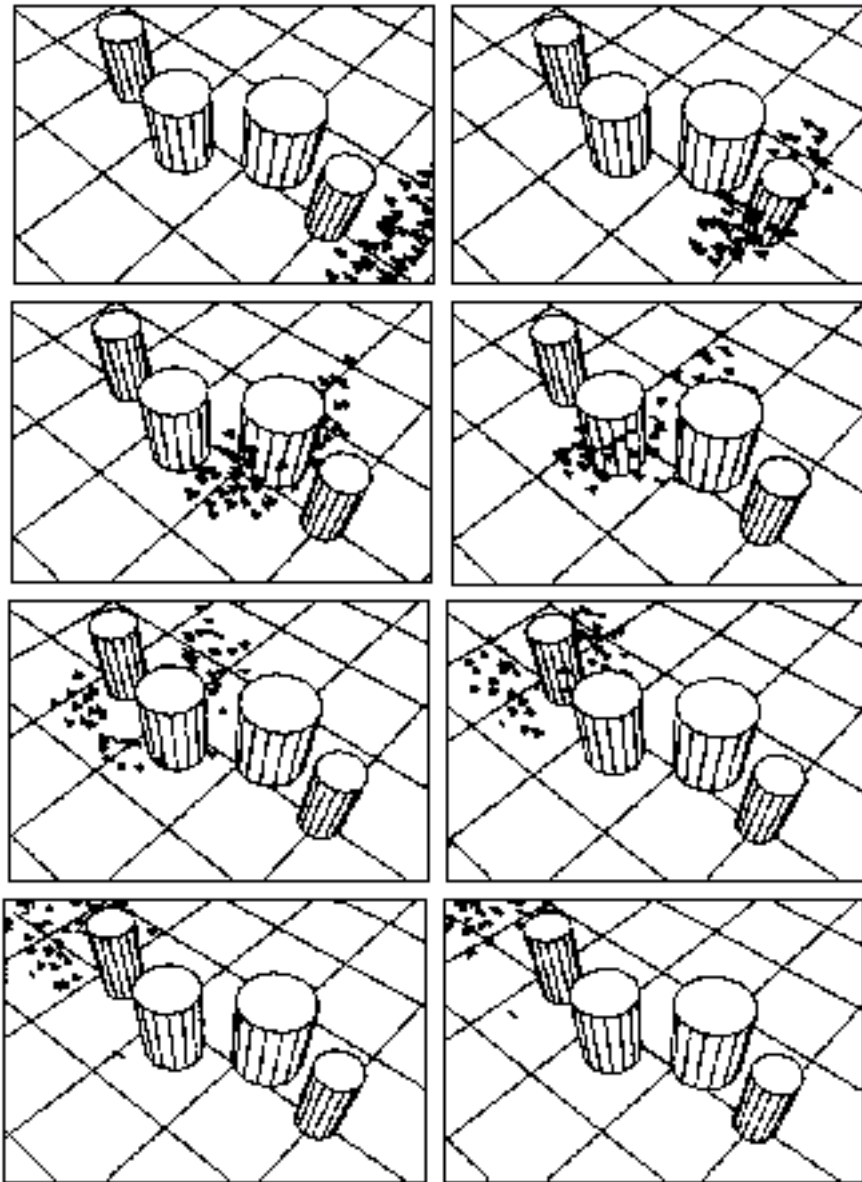




# 3. Nuées

## Différents types de groupes d'objets :

Type de groupe	Nombre d'éléments	Lois physiques	Intelligence
particules	très grand	nombreuses ds l'env.	aucune => comportement émergent
bandes = nuées = « boids »	moyen	ds l'env. + interne	limitée
individu	faible	petit nombre	grande

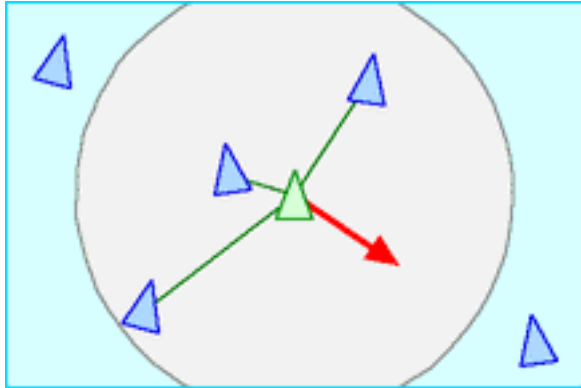


C. W. Reynolds,  
"Flocks, Herds, and Schools:  
A Distributed Behavioral Model",  
*Computer Graphics*,  
vol. 21, no. 4, pp 25-34, 1987.

VOIR SON SITE !!

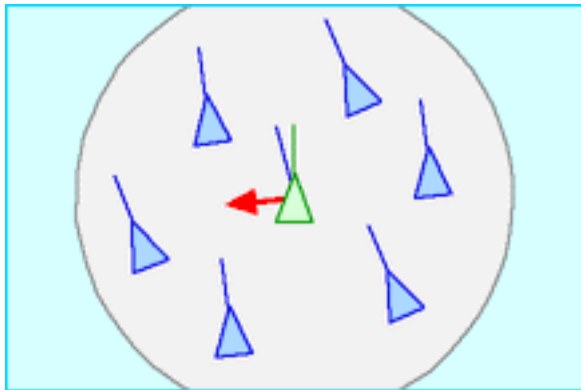
<http://www.red3d.com/cwr/boids>



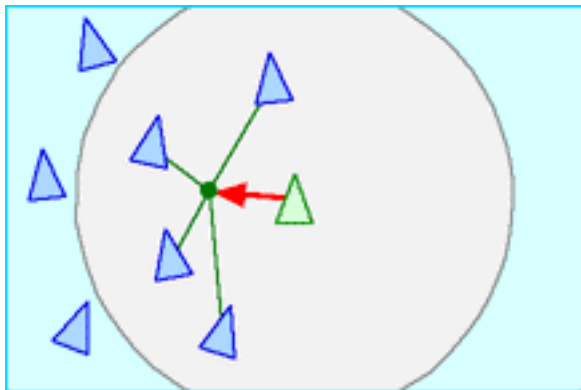


**Separation:** steer to avoid crowding local flockmates

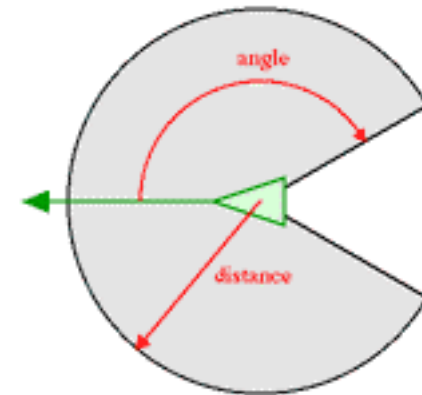
deux forces concurrentes :  
 -la cohésion au sein du groupe  
 -l' évitement de collision (prioritaire)



**Alignment:** steer towards the average heading of local flockmates

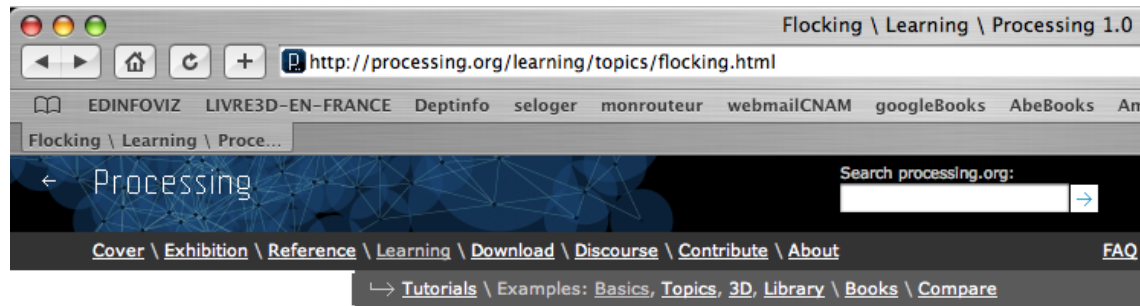


**Cohesion:** steer to move toward the average position of local flockmates

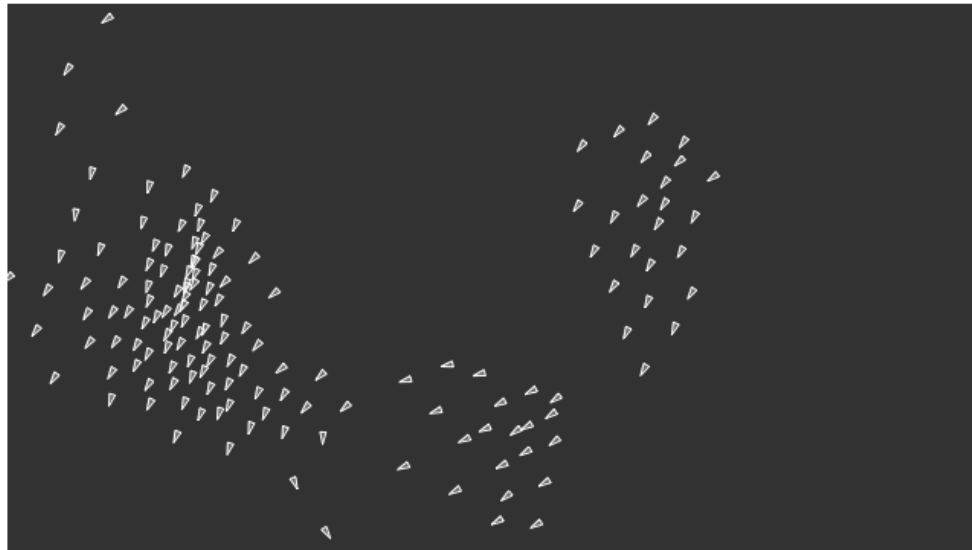


a boid's neighborhood

# Exemple de programmation avec Processing :



This example is for Processing version 1.0+. If you have a previous version, use the examples included with your software. If you see any errors or have comments, please [let us know](#).



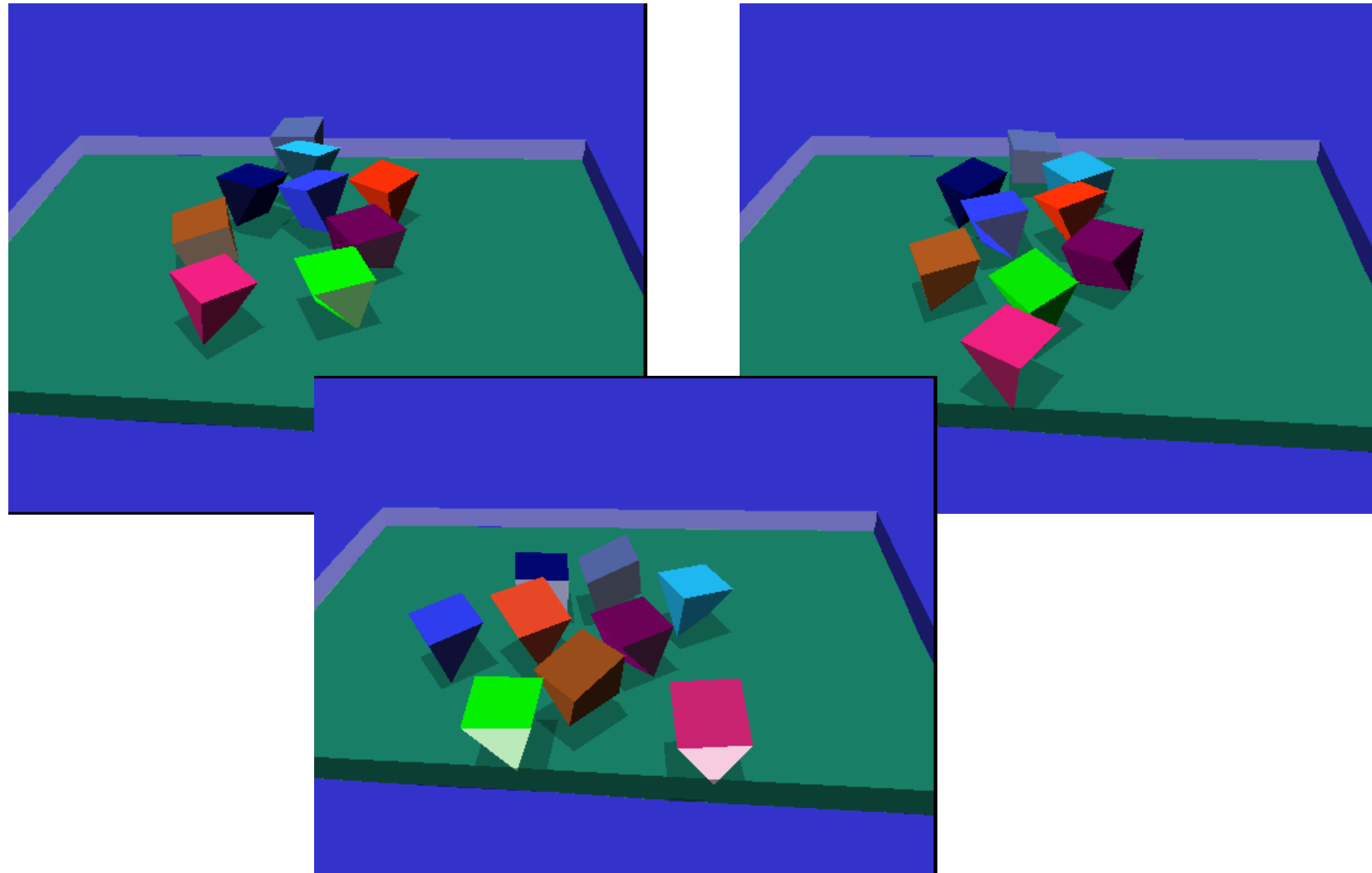
Flocking by Daniel Shiffman.

An implementation of Craig Reynold's Boids program to simulate the flocking behavior of birds. Each boid steers itself



un autre exemple (avec code) : site de Ken PERLIN

<http://mrl.nyu.edu/~perlin/experiments/polly/follow.html>



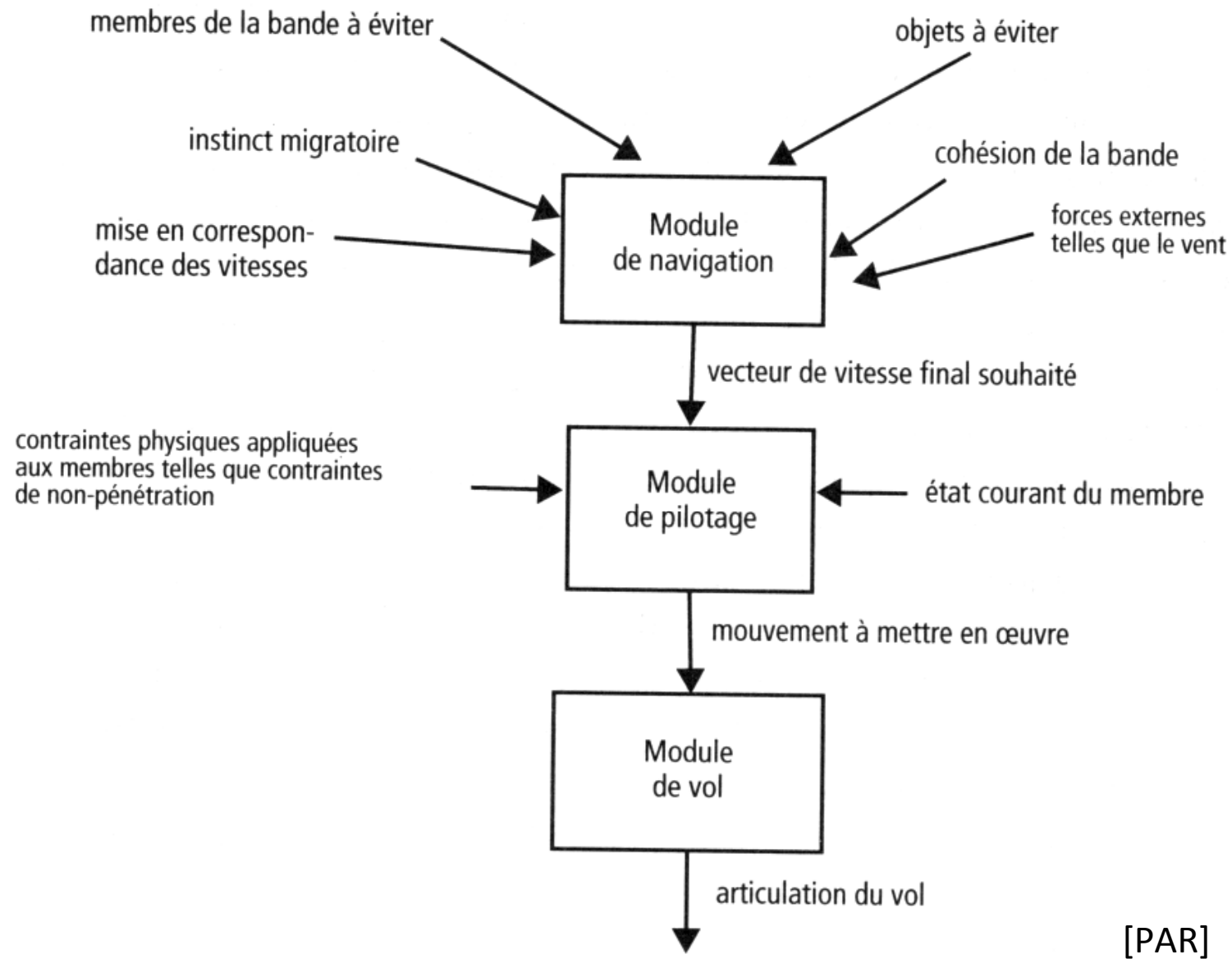


Figure 4.49 **Négociation du mouvement**



# Esquive de collision

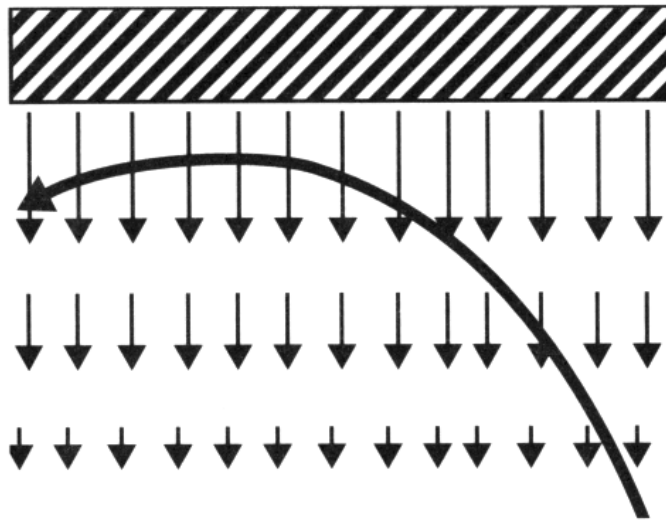


Figure 4.50 Esquive de collision par champ de force

[PAR]

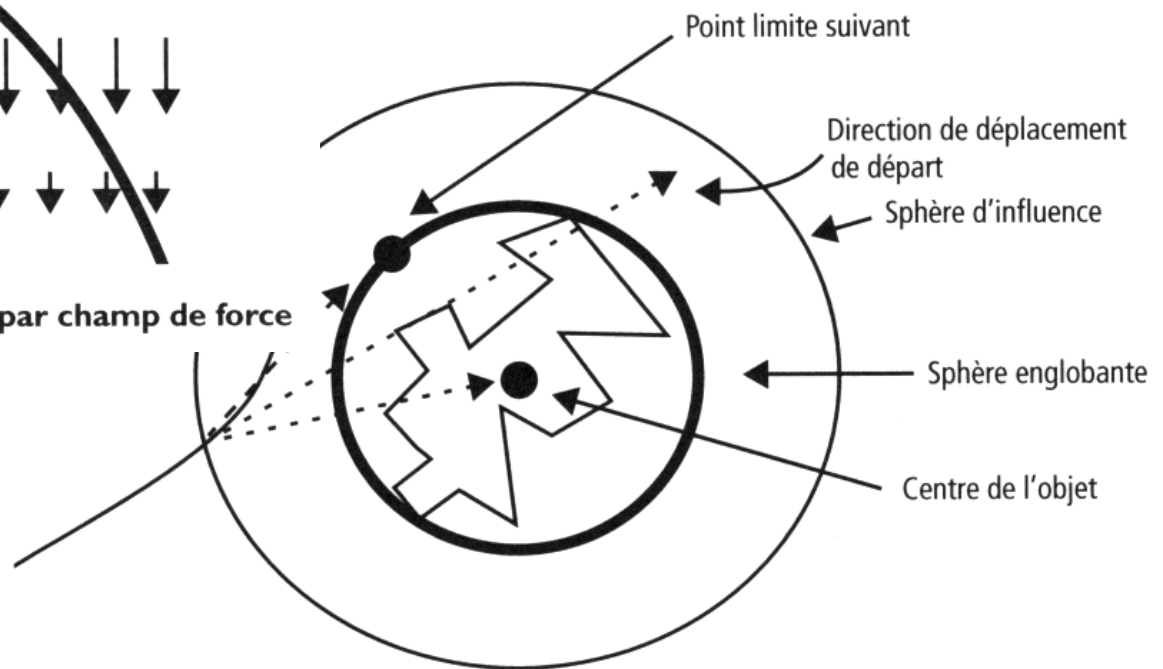


Figure 4.52 Virage pour éviter une sphère englobante

[PAR]

# vers l'autonomie

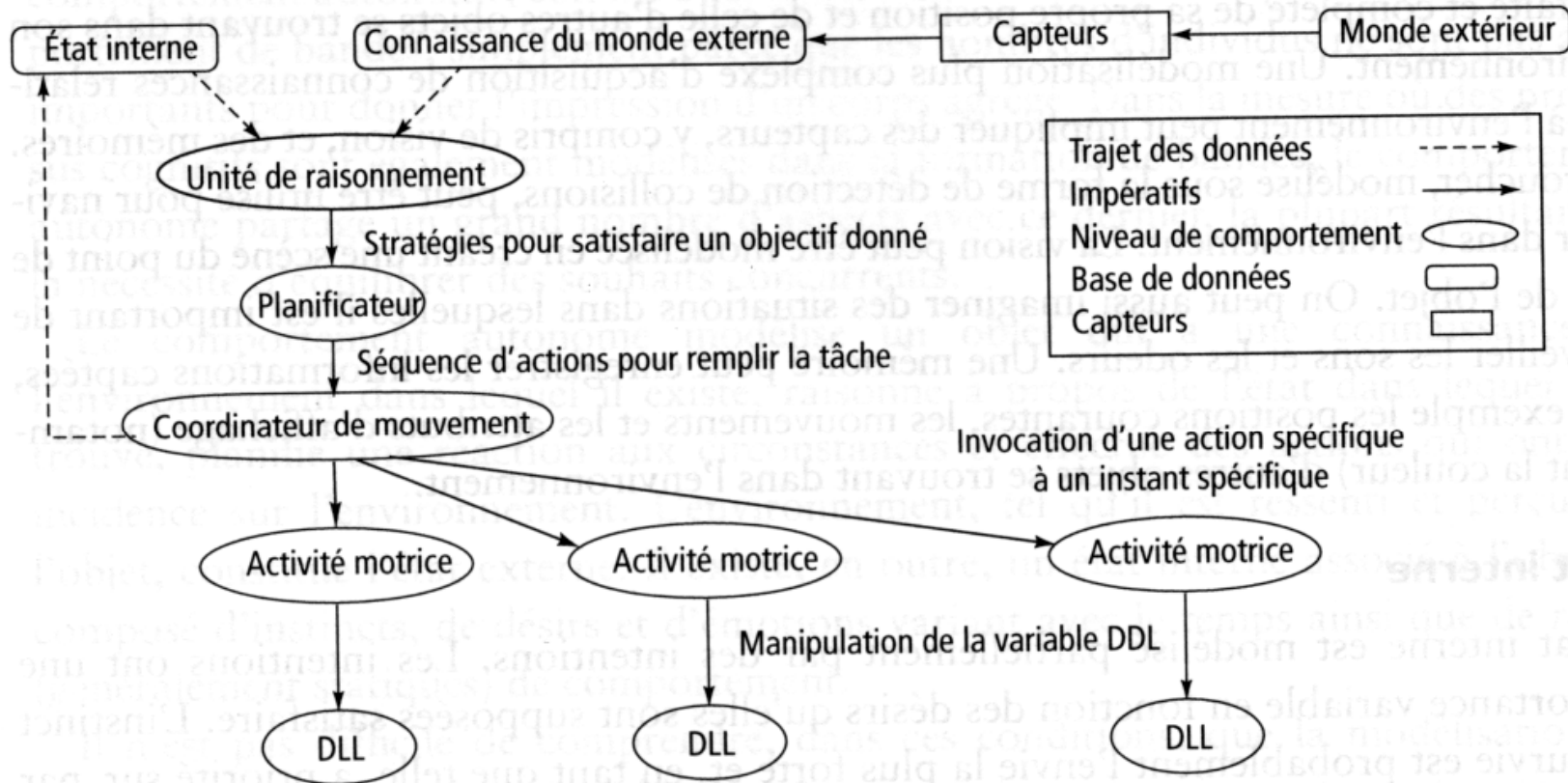
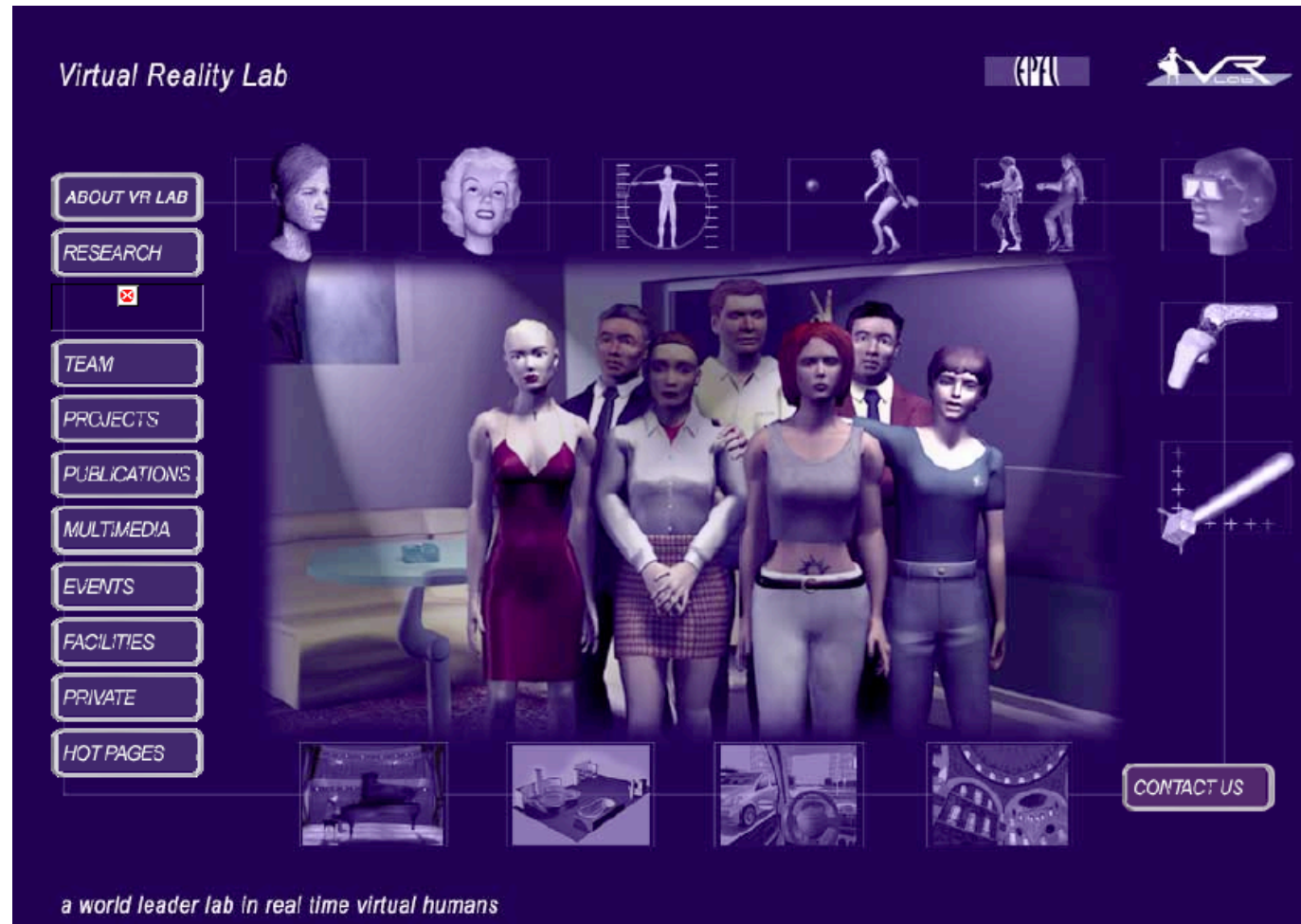
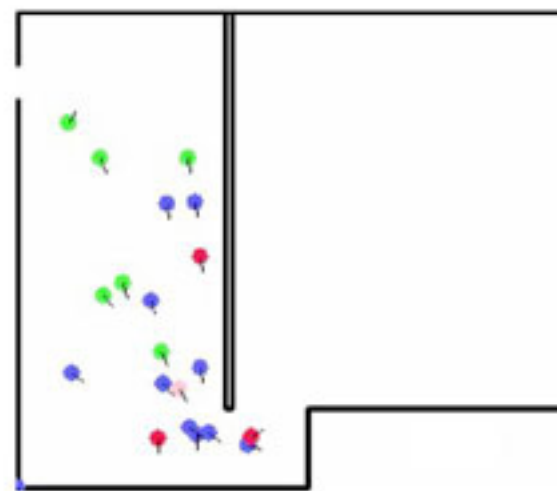
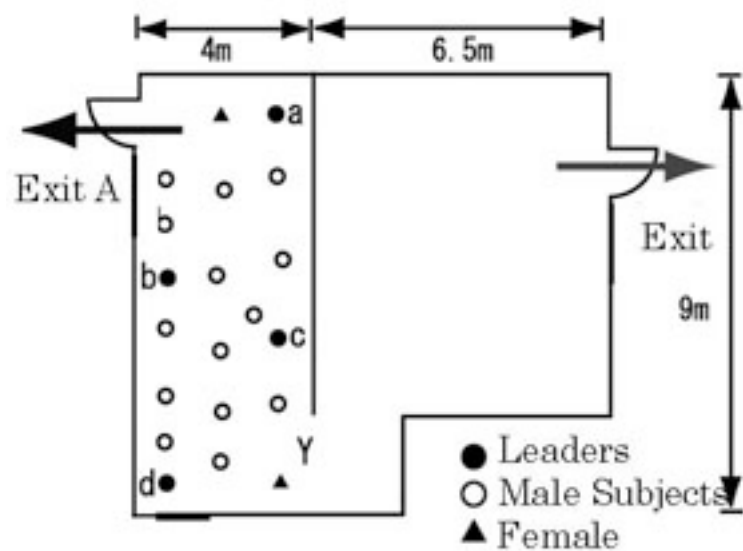


Figure 4.60 Niveaux de comportement

[PAR]

<http://ligwww.epfl.ch/>





(a) The map of the basement room

(b) Multi-agent simulator

Figure 1. Multi-agent simulation in the basement room experiment



View from the evacuee agent



Bird's-eye view

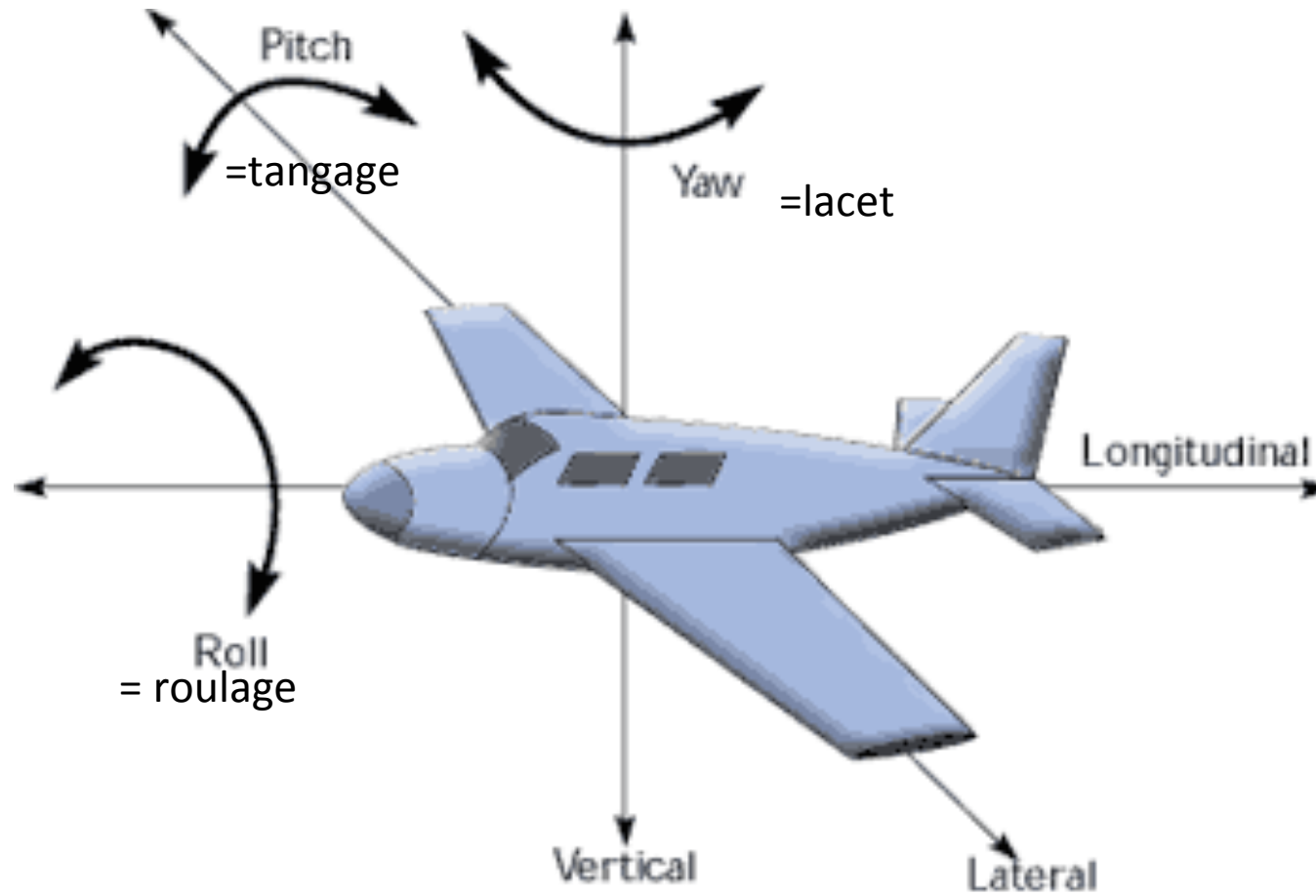
Figure 2. The basement room experiment in the virtual city simulator

## **4. Passage au solide indéformable**

(re)voir "Gravity"



# Angles d'Euler :



# Mécanique du solide en rotation (Wikipedia)

Analogies Translation - Rotation

Grandeur	Notation	Unité	Grandeur	Notation	Unité
Vecteur déplacement	$x$	mètre (m)	Angle plan	$\phi$	radian (rad)
Vitesse	$v$	$m \cdot s^{-1}$	Vitesse angulaire	$\omega$	$rad \cdot s^{-1}$
Accélération	$a$	$m \cdot s^{-2}$	Accélération angulaire	$\alpha$	$rad \cdot s^{-2}$
Force	$F$	$N = kg \cdot m \cdot s^{-2}$	Couple	$C$	$N \cdot m = J/rad$ $kg \cdot m^2 \cdot s^{-2} \cdot rad^{-1}$
Masse	$m$	kg	Moment d'inertie	$I$	$kg \cdot m^2 \cdot rad^{-2}$
Quantité de mouvement	$p$	$kg \cdot m \cdot s^{-1}$	Moment cinétique	$I \cdot \omega$	$kg \cdot m^2 \cdot s^{-1} \cdot rad^{-1}$

$$F = m * a \quad C = I * \alpha$$

effort = inertie \* variation



# A lire : wikipedia

## Moment d'inertie

 Pour les articles homonymes, voir [Moment](#).

Le **moment d'inertie** est une grandeur [physique](#) qui caractérise la géométrie des masses d'un solide, c'est-à-dire la répartition de la matière en son sein. Il quantifie également la *résistance* à une mise en rotation de ce solide (ou plus généralement à une [accélération angulaire](#)), et a pour dimension  $M \cdot L^2$  (le produit d'une masse et du carré d'une longueur, qui s'exprime en  $\text{kg} \cdot \text{m}^2$  dans le [S.I.](#)). C'est l'analogue pour un solide de la [masse inertielle](#) qui, elle, mesure la *résistance* d'un corps soumis à une [accélération linéaire](#).

Dans le cas simple de la rotation d'une masse autour d'un axe fixe, le moment d'inertie par rapport à cet axe est une grandeur *scalaire* qui apparaît dans les expressions du [moment cinétique](#) et de l'[énergie cinétique](#) de rotation de ce corps. Toutefois dans le cas général d'une rotation autour d'un axe dont la direction varie au cours du temps, il est nécessaire d'introduire un [tenseur](#) symétrique du second ordre, le tenseur d'inertie. Il est toujours possible de choisir un système d'axes, dits axes principaux d'inertie, tels que la matrice représentative de ce tenseur prenne une forme diagonale. Les trois moments correspondants sont *moments principaux d'inertie*. Dans le cas particulier d'un solide *homogène*, ils ne dépendent que de la forme géométrique de celui-ci.

En [mécanique des matériaux](#) l'appellation de « moment d'inertie » est parfois utilisée pour déterminer la contrainte dans une poutre soumise à [flexion](#). Il s'agit alors d'une notion physique différente,

### Moment d'inertie

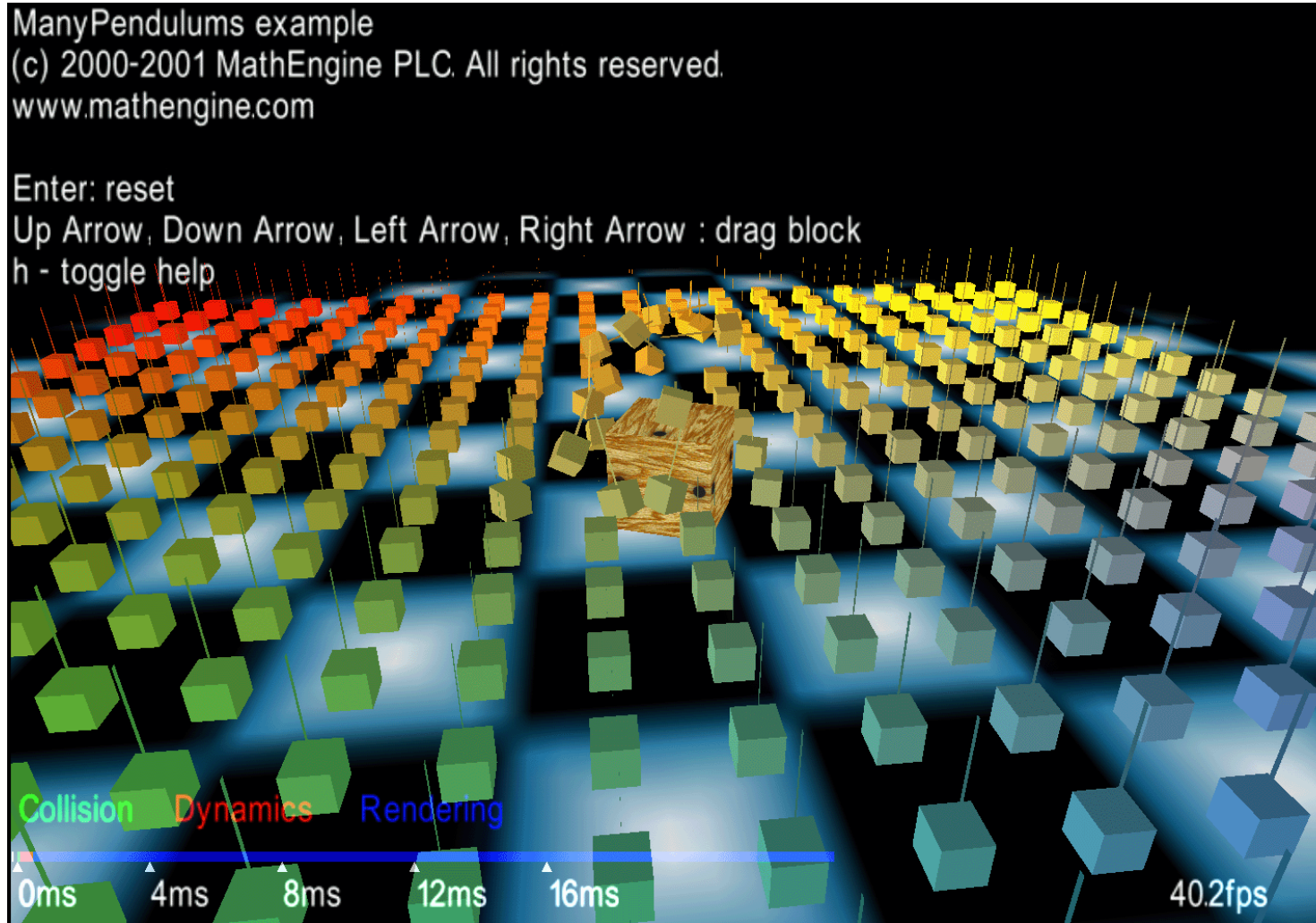


En serrant ses bras le long du corps, cette patineuse diminue son moment d'inertie, augmentant sa vitesse de rotation, puisque son [moment cinétique](#) est conservé.

<b>Unités SI</b>	$\text{kg} \cdot \text{m}^2$
<b>Dimension</b>	$M \cdot L^2$

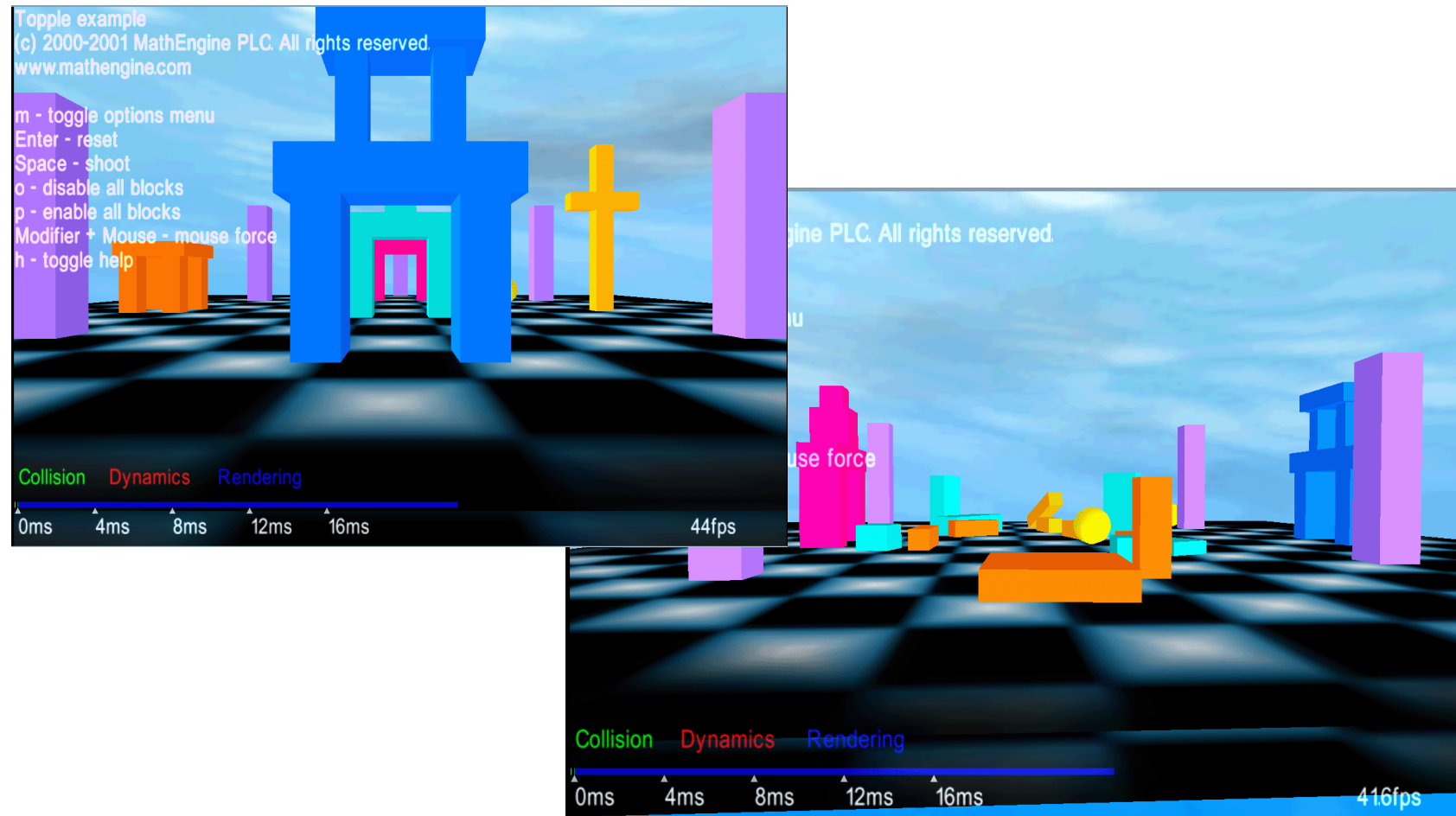


# Moteurs physiques



Karma (soc. MathEngine) utilisé dans Renderware

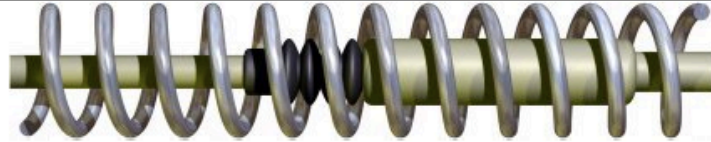
## Une application ludique majeure : le « casse briques »



Doc encore en ligne en 2019 :

<https://api.unrealengine.com/udk/Two/rsrc/Two/KarmaReference/KarmaUserGuide.pdf>

À voir aussi



# Open Dynamics Engine

Russ Smith

## Contents

- [1. Introduction](#)
- [2. What is a Physics SDK?](#)
- [3. ODE's License](#)
  - [3.1. ODE's BSD license \(LICENSE-BSD.TXT\)](#)
  - [3.2. ODE's LGPL license \(LICENSE.TXT\)](#)

## 1. Introduction

ODE is an open source, high performance library for simulating rigid body dynamics. It is fully featured, stable, mature and platform independent with an easy to use C/C++ API. It has advanced joint types and integrated collision detection with friction. ODE is useful for simulating vehicles, objects in virtual reality environments and virtual creatures. It is currently used in many computer games, 3D authoring tools and simulation tools.

[Get the source code from BitBucket.](#)

<http://www.ode.org/>